

Múltiples resonancias en redes neuronales conectadas vía gap junctions con delay

Andrea L. Bel¹, Walter A. Reartes¹ y Horacio G. Rotstein²

Departamento de Matemática
Universidad Nacional del Sur



Department of Mathematical Sciences
New Jersey Institute of Technology



UMA - 2016

Esquema

- Modelo no lineal de tipo Hodgkin-Huxley. Resonancias subumbral
- Conexiones *gap* con delay
- Modelos linealizados: autoconectado y dos nodos
- Simulaciones con modelos no lineales

Modelo basado en conductancia

Modelo del tipo Hodgkin-Huxley para voltaje subumbral

$$C \frac{dV}{dt} = -I_L - I_1 - I_2 + I_{app} + I_{in}$$



Modelo basado en conductancia

Modelo del tipo Hodgkin-Huxley para voltaje subumbral

$$C \frac{dV}{dt} = -I_L - I_1 - I_2 + I_{app} + I_{in}$$



- C : capacitancia de la membrana ($\mu\text{F}/\text{cm}^2$),
 t : tiempo (ms),
 V : potencial de membrana (mV),

Modelo basado en conductancia

Modelo del tipo Hodgkin-Huxley para voltaje subumbral

$$C \frac{dV}{dt} = -I_L - I_1 - I_2 + I_{app} + I_{in}$$



- C : capacitancia de la membrana ($\mu\text{F}/\text{cm}^2$),
 t : tiempo (ms),
 V : potencial de membrana (mV),
- $I_L = G_L(V - E_L)$, $I_j = G_j x_j(V - E_j)$, $j = 1, 2$,
 G_L , G_j : conductancias máxima (mS/cm^2),
 E_L , E_j : potenciales de inversión (mV),
 x_j : variables de apertura de canal,

Modelo basado en conductancia

Modelo del tipo Hodgkin-Huxley para voltaje subumbral

$$C \frac{dV}{dt} = -I_L - I_1 - I_2 + I_{app} + I_{in}$$



- I_{app} : corriente (DC) ($\mu\text{A}/\text{cm}^2$),

I_{in} : corriente externa

$$I_{in}(t) = A_{in} \sin\left(\frac{2\pi f}{1000} t\right),$$

y $[f] = \text{Hz}$.

Modelo bidimensional

Modelos con dos corrientes

$$I_h + I_{Nap}$$

$$I_{Ks} + I_{Nap}$$

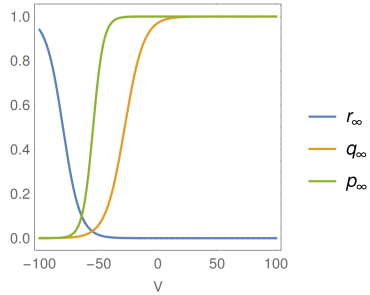
- $I_h = G_h r(t)(V - E_h)$, siendo

$$\frac{dr}{dt} = \frac{r_\infty(V) - r}{\tau_r}$$

- $I_{Ks} = G_{Ks} q(t)(V - E_K)$, siendo

$$\frac{dq}{dt} = \frac{q_\infty(V) - q}{\tau_q}$$

- $I_{Nap} = G_p p_\infty(V)(V - E_{Na})$



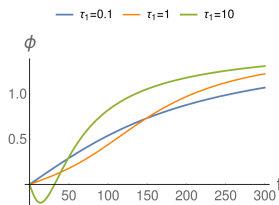
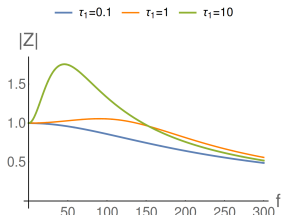
Resonancias en modelos bidimensionales

$$I_{in} = A_{in} \sin\left(\frac{2\pi f t}{1000}\right) \implies V_{out}(t, f) = A_{out}(f) \sin\left(\frac{2\pi f}{1000}t - \phi(f)\right)$$

Si el equilibrio es asintóticamente estable, linealizamos y la respuesta es caracterizada por:

$$\text{impedancia} \quad |Z(f)| = \frac{A_{out}(f)}{A_{in}} \quad \text{y} \quad \text{fase} \quad \phi(f).$$

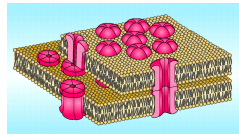
- **Resonancia de amplitud:** existe un máximo de la función de impedancia $|Z|$ para alguna frecuencia f_{res}
- **Resonancia de fase:** existe un valor f_{fas} en el que la fase ϕ se anula



Conexiones *gap*

Las gap son conexiones de tipo eléctrico entre dos neuronas muy cercanas.

La corriente que se genera no tiene una dirección preferida.



En el modelo la conexión es proporcional a la diferencia de voltaje. Por ejemplo, si j y k están conectadas con gap, el flujo en la neurona k resulta

$$I_{j \rightarrow k} = g_{gap,jk}(V_j(t - \tau) - V_k(t)),$$

Hay un delay constante que está asociado con la propagación de la señal a lo largo de axones y dendritas.

Conexiones gap

Una red de N neuronas conectadas vía gap y con un input en la primer neurona es de la forma

$$\begin{aligned} C_k \frac{dV_k}{dt} &= -I_{ion,k} + \sum_j g_{gap,jk}(V_j(t - \tau) - V_k(t)) + I_{app,k} + \delta_{1,k} I_{in}(t), \\ \frac{dx_k}{dt} &= \frac{x_{k,\infty}(V_k) - x_k}{\tau_k}, \end{aligned}$$

para $j, k = 1, \dots, N$, $j \neq k$.

La matriz de conexión está dada por $G_{gap} = [g_{gap,jk}]$, $j, k = 1, \dots, N$.

Modelo autoconectado linealizado

Primera aproximación: Consideramos una neurona autoconectada con gap.

Punto fijo $(\bar{V}, \bar{x}_1) = (\bar{V}, x_{1,\infty}(\bar{V}))$. Linealizando obtenemos

$$C v'(t) = -g_L v(t) - g_1 w(t) + g_{gap}(v(t-\tau) - v(t)) + I_{in}(t),$$

$$\tau_1 w'(t) = v(t) - w(t)$$

con $v = V - \bar{V}$ y $w = \frac{x_1 - \bar{x}_1}{x'_{1,\infty}(\bar{V})}$. Las constantes g_L , g_1 y τ_1 dependen de C , G_L , E_L , $G_{1,2}$, etc.

Estabilidad lineal y curva de resonancia

Sistema bidimensional
sin conexión

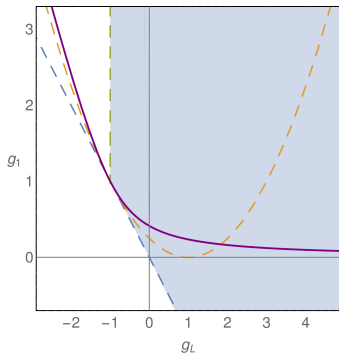


Figura : $\tau_1 = 1$

Sistema conectado
con *gap* con delay

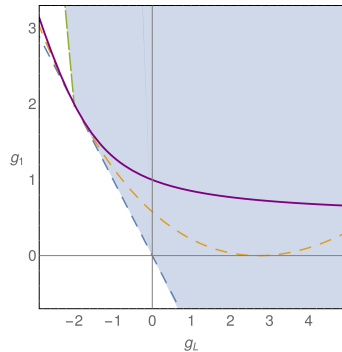
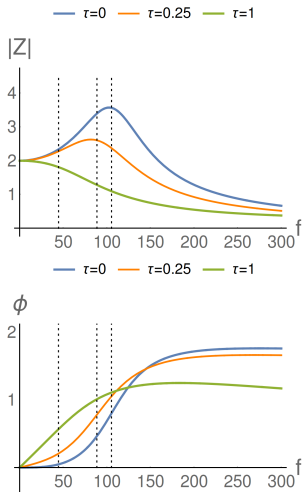


Figura : $\tau_1 = 1, \tau = 1, g_{gap} = 1$

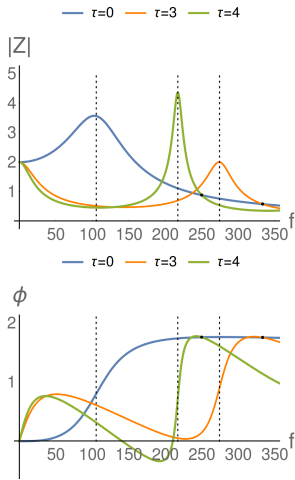
Autoconectado: Impedancia y fase



- Al aumentar τ la frecuencia f_{res} disminuye y eventualmente la resonancia original desaparece.
- Para frecuencias bajas f_{res} y la frecuencia intrínseca pueden no coincidir.
- Si f es suficientemente grande la fase tiene a la correspondiente sin retardo.

Figura : Parámetros:
 $g_L = -0.5$, $g_1 = 1$ y $\tau_1 = 1$.

Autoconectado: Impedancia y fase



- Al aumentar τ en frecuencias más altas se observan nuevas f_{res} que coinciden con las frecuencias intrínsecas del sistema.
- La impedancia en la nueva resonancia puede ser mayor que la original dependiendo de los valores de los parámetros elegidos y del retardo.
- Al aumentar τ se observan múltiples resonancias de fases.

Figura : Parámetros:
 $g_L = -0.5$, $g_1 = 1$ y $\tau_1 = 1$.

Dos neuronas conectadas con gap

El modelo resulta

$$C_1 \frac{dV_1}{dt} = -I_{ion,1} + g_{gap,21}(V_2(t - \tau) - V_1(t)) + I_{app,1} + I_{in}(t)$$

$$\frac{dx_1}{dt} = \frac{x_{1,\infty}(V_1) - x_1}{\tau_1}$$

$$C_2 \frac{dV_2}{dt} = -I_{ion,2} + g_{gap,12}(V_1(t - \tau) - V_2(t)) + I_{app,2}$$

$$\frac{dx_2}{dt} = \frac{x_{2,\infty}(V_2) - x_2}{\tau_2}$$

Dos neuronas linealizado: Impedancia

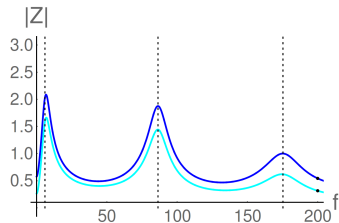
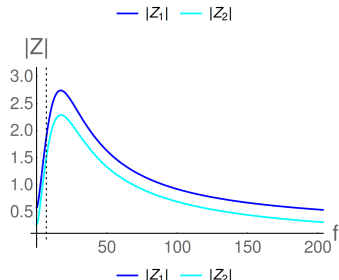
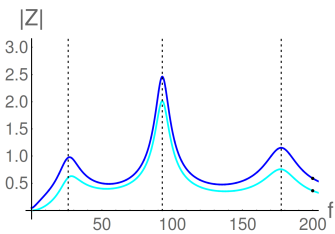
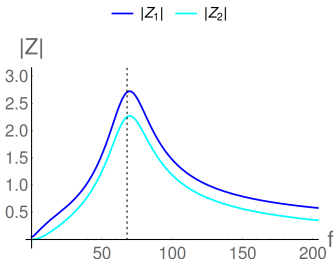


Figura : Arriba $\tau = 0$. Abajo $\tau = 5$.

Se consideran los mismos parámetros en las dos neuronas. En particular, $\tau_1 = \tau_2 = 100$ y los demás parámetros con valores similares al caso autoconectado.

- Múltiples resonancias.
- En las frecuencias más grandes coinciden con las frecuencias intrínsecas.

Dos neuronas linealizado: Impedancia



Se consideran los mismos parámetros en las dos neuronas, con valores similares a los no lineales.

- Múltiples resonancias que en las frecuencias más grandes coinciden con las frecuencias intrínsecas.
- La segunda resonancia alcanza un valor más grande que la primera.

Figura : Arriba $\tau = 0$. Abajo $\tau = 5$.

Simulaciones: dos $I_h + I_{Nap}$ conectadas con gap

Parámetros:

- En I_L : $G_L = 0.3$, $E_L = -75$,
- En I_h : $G_h = 0.5$, $E_h = -26$, $\tau_r = 100$, $r_\infty(V) = \left(1 + e^{\frac{V+80.2}{7.2}}\right)^{-1}$
- En I_{Nap} : $G_p = 0.09$, $E_{Na} = 42$, $p_\infty(V) = \left(1 + e^{-\frac{(V+54.7)}{4.4}}\right)^{-1}$

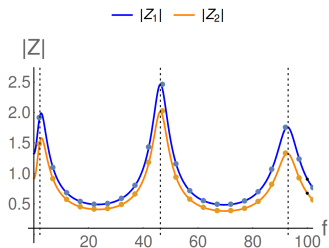


Figura : $A_{in} = 1$

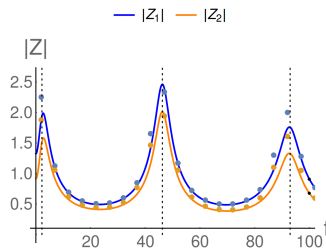


Figura : $A_{in} = 10$

Bibliografía



A. L. Hodgkin and A. F. Huxley.

A quantitative description of membrane current and its application to conductance and excitation in nerve.

Journal of Physiology, 117:500–544, 1952.



V. K. Jirsa.

Dispersion and time delay effects in synchronized spike–burst networks.

Cognitive Neurodynamics, 2:29–38, 2008.



E. Munro and C. Börgers.

Mechanisms of very fast oscillations in networks of axons coupled by gap junctions.

Journal of Computational Neuroscience, 28:539–555 2010.



H. G. Rotstein and F. Nadim.

Frequency preference in two-dimensional neural models: a linear analysis of the interaction between resonant and amplifying currents.

Journal of Computational Neuroscience, 37:9–28, 2013.

¡Muchas Gracias!